

# 1 Einleitung

Im Versuch Drehschwingungen V102 sind verschiedene Messungen durchzuführen und mit Hilfe derer die elastischen Konstanten eines Material zu bestimmen. Hierbei kann eine beliebige Metalllegierung untersucht werden - In diesem Fall ein Kupferdraht. Außerdem wird in einem zweiten Messgang noch das magnetische Moment eines Magneten durch Drehschwingungen unter Einfluss eines homogenen Magnetfeldes, welches mit Hilfe von Helmholtzspulen erzeugt wird, untersucht.

# 2 Theorie

Bei den im erseten Versuchsteil zu bestimmenden Größen, handelt es sich um sogenannte *elastische Konstanten*, die im allgemeinen ein Maß für die relative Form- und Volumenveränderung eines Materials sind, welches äußeren Kräften ausgesetzt ist. Solche Kräfte die auf die Oberfläche eines Matrials einwirken wie beispielsweise der Druck, werden im allgemeinen Spannungen genannt. Die Anzahl der zur Beschreibung eines Materials nötigen elastischen Konstanten, hängt vorallem von der inneren Struktur des Materials ab und reicht von einem Maximum von 36 Konstanten zu einem Minimum von 2 Konstanten für isotrope Materialien wie sie auch in diesm Versuch untersucht werden. Zu den zwei benötigten Konstanten, dem Torsionsmodul  $G$  und dem Kompressionsmodul  $Q$  kommen in diesem Versuch noch zwei weitere, das Elastizitätsmodul  $E$  und die Poissonsche Querkontraktionszahl  $\mu$  hinzu. Der Zusammenhang dieser vier Größen lässt mit den Gleichungen 1 und 2 beschreiben.

$$E = 2G(\mu + 1) \quad (1)$$

$$E = 3Q(1 - 2\mu) \quad (2)$$

Die Bestimmung des Torsionsmoduls erfolgt in diesem Versuch mit Hilfe einer dynamischen Methode, d.h. die auf den hier zu untersuchenden Draht wirken periodisch zeitabhängige Spannungen. Dies ist der statischen Methode gegenüber vorteilhafter, da keine elastischen Nachwirkungen auftreten, durch die das Material nur verzögert in seinen Ausgangszustand zurück geht. Für die hier verwendete dynamische Methode, wird der zu untersuchende Draht in harmonische Drehschwingungen Mit der Periodendauert

$$T = 2\pi\sqrt{\frac{J}{D}} \quad (3)$$

versetzt. Dabei ist  $J$  das Trägheitsmoment des schwingenden Körpers und  $D$  die Richtgröße des als Zylinder idealisierten Drahtes, welche durch

$$D = \frac{\pi GR^4}{2L} \quad (4)$$

beschrieben wird. Dabei ist  $L$  die Länge des Drahtes und  $R$  dessen Radius.

Für die Bestimmung des magnetischen Moments  $m$  im zweiten Versuchsteil wird die durch

$$B = \mu_0 \mu_r \frac{8}{\sqrt{125}} \frac{IN}{R} [1] \quad (5)$$

berechenbare magnetische Flussdichte eines Helmholtzspulenpaares benötigt, für die somit die geometrischen Abmessungen der Spulen und der durch diese fließende Strom  $I$  benötigt werden. Auch in diesem Versuchsteil wird der Daht in harmonische Schwingungen versetzt deren Periodendauer

$$T_m = 2\pi \sqrt{\frac{J}{mB + D}} \quad (6)$$

ist.

### 3 Durchführung

Der Versuchsaufbau entspricht dem in Abbildung 1 mit dem Zusatz, dass links von der Apparatur noch eine Glühlampe mit Blende und Fokussierlinse steht und um etwa  $90^\circ$  versetzt ein Photodiode, welcher ein H-Signal weitergibt, wenn diese von dem Lichtstrahl über den Spiegel getroffen wird. Als erstes ist gefordert eine Stoppuhr mit einer Logikschaltung selber zu erstellen, diese soll 4 Phasen haben:

1. Start der Stoppuhr
2. „Nichts“
3. Stopp der Stoppuhr
4. Reset der Stoppuhr

Sobald der Lichtstrahl vom Spiegel reflektiert wird und dieser in die Photodiode trifft, gibt diese ein Signal auf die Schaltung, dann geht die Stoppuhr in Phase 1, beim zweiten Mal in Phase 2 usw.. Danach wird noch die Dicke des Drahtes an 4 verschiedenen Stellen vermessen und andere feste Größen an der Apparatur abgelesen. Durch das Justierrad mit Klemmschraube wird der Spiegel so ausgerichtet, dass der Lichtstrahl neben der Photodiode auf der dort justierten Mattscheibe zu sehen ist, danach wird eine Auslenkung durch das Justierrad erzeugt und die Periodendauern von der Stoppuhr abgelesen und notiert bis eine ausreichende Menge an Messwerten vorhanden ist. Schlussendlich werden nun die Helmholtzspulen eingeschaltet, damit ein homogenes Magnetfeld erzeugt wird, um dann die Messungen noch einmal auszuführen.

## 4 Auswertung

Im folgenden sind die aufgenommenen Messwerte, sowie die aus diesen berechneten Werte aufgeführt. An entsprechenden Stellen sind Erläuterungen zu den Berechnungen gegeben. Der nachfolgenden Abschnitt 4.1 enthält die Fehlergleichungen für die hier aufgeführten Größen.

In den Tabellen 1 bis 3 sind für die noch folgenden Rechnungen benötigten Apparaturgrößen angegeben.

| Durchmesser<br>$d[\text{mm}]$ | Länge<br>$L[\text{cm}]$ |
|-------------------------------|-------------------------|
| 0,195 ± 0,001                 | 62,7 ± 0,1              |
| 0,198 ± 0,001                 |                         |
| 0,201 ± 0,001                 |                         |
| 0,196 ± 0,001                 |                         |
| $\bar{d} = 0,1975 \pm 0,0005$ |                         |

Tabelle 1: Messgrößen des Drahtes

| Masse<br>$m_K[\text{g}]$ | Durchmesser<br>$d_K[\text{mm}]$ | Trägheitsmoment<br>der Halterung<br>$J_H[\text{gcm}^2]$ |
|--------------------------|---------------------------------|---|
| 512,50 ± 0,04            | 50,76 ± 0,36                    | 22,5  |

Tabelle 2: Messgrößen der Kugel und Halterung

| Radius $R[\text{mm}]$ | Windungszahl $N$ |
|-----------------------|------------------|
| 78,0                  | 390              |

Tabelle 3: Messgrößen der Spulen

Tabelle 4 enthält die gemessenen Periodendauern für die Schwingung ohne äußeres Magnetfeld und deren Mittel.

| Periodendauer<br>$T[\text{s}]$ | Periodendauer<br>$T[\text{s}]$ |
|--------------------------------|--------------------------------|
| 18,364 ± 0,001                 | 18,330 ± 0,001                 |
| 18,377 ± 0,001                 | 18,333 ± 0,001                 |
| 18,353 ± 0,001                 | 18,343 ± 0,001                 |
| 18,359 ± 0,001                 | 18,320 ± 0,001                 |
| 18,346 ± 0,001                 | 18,342 ± 0,001                 |
| 18,349 ± 0,001                 |                                |
| $\bar{T} = 18,3469 \pm 0,0003$ |                                |

Tabelle 4: Gemessene Periodendauern ohne äußeres Magnetfeld

Mit Hilfe der Gleichung 3 für die theoretische Periodendauer dieser harmonischen Schwingung, mit  $J = J_K + J_H$ , da sich das Gesamtträgheitsmoment aus dem der Kugel und dem der Halterung zusammensetzt und der Gleichung 4 erhält man mit den Werten aus Tabelle 1 und der mittleren Periodendauer  $\bar{T}$  aus Tabelle 4 das Torsionsmodul  $G$ .

$$G = \frac{8\pi L}{\bar{T}^2 R^4} (J_K + J_H) \quad (7)$$

Das Trägheitsmoment der Kugel berechnet sich mit  $J_K = 0,4m_K r_K^2$  und den Werten aus Tabelle 2 zu  $J_K = (0,132\,05 \pm 0,000\,06) \text{ gm}^2$  somit ergibt sich das Torsionsmodul zu

$$G = (6,61 \pm 0,07) \cdot 10^{10} \text{ Nm}^{-2}.$$

Daraus lassen sich mit dem gegebenen Elastizitätsmodul  $E = (21,00 \pm 0,05) \cdot 10^{11} \text{ Nm}^{-2}$ , die beiden noch übrigen elastischen Konstanten aus den Gleichungen 1 und 2 bestimmen. Man erhält die Poissonsche Querkontraktionszahl

$$\mu = 0,588 \pm 0,017$$

und das Kompressionsmodul

$$Q = (-4,0 \pm 0,8) \cdot 10^{11} \text{ Nm}^{-2}.$$

In Tabelle 5 sind die Periodendauern der Schwingung mit dem äußerem Magnetfeld der Helmholtzspulen eingetragen.

| Periodendauer<br>$T[\text{s}]$  | Periodendauer<br>$T[\text{s}]$ |
|---------------------------------|--------------------------------|
| $4,995 \pm 0,001$               | $4,551 \pm 0,001$              |
| $4,975 \pm 0,001$               | $4,545 \pm 0,001$              |
| $4,937 \pm 0,001$               | $4,538 \pm 0,001$              |
| $4,897 \pm 0,001$               | $4,628 \pm 0,001$              |
| $4,838 \pm 0,001$               | $4,594 \pm 0,001$              |
| $\bar{T}_m = 4,7498 \pm 0,0003$ |                                |

Tabelle 5: Gemessene Periodendauern mit äußerem Magnetfeld

Mit der Spulenstromstärke  $I = (1,00 \pm 0,02) \text{ A}$  und den Werten aus Tabelle 3 ergibt sich die magnetische Flussdichte des Spulenpaares aus der Gleichung 5 zu

$$B = (4,50 \pm 0,07) \text{ T}.$$

Eine Gleichung für das magnetische Moment  $m$  erhält man aus den Gleichungen 6 und 4 durch umformen.

$$m = \frac{4\pi^2(J_K + J_H)}{\bar{T}_m^2 B} - \frac{\pi G R^4}{2LB} \quad (8)$$

Und mit den Werten aus den Tabellen 1, 2 und 5, sowie der magnetischen Flussdichte  $B$  erhält man das magnetische Moment

$$m = (0,0488 \pm 0,0007) \text{ Am}^2.$$

## 4.1 Fehlerrechnung

Im Folgenden sind die mittels Gaußscher Fehlerfortpflanzung bestimmten Gleichungen für die Fehler der in Abschnitt 4 berechneten Größen.

Der Fehler des Trägheitsmoments der Kugel  $J_K$  ergibt sich aus:

$$\sigma_{J_K} = \sqrt{0.16\sigma_{m_K}^2 r_K^4 + 0.64\sigma_{r_K}^2 m_K^2 r_K^2}$$

Den Fehler der für das Torsionsmodul aus Gleichung 7 erhält man durch:

$$\sigma_G = \sqrt{\frac{64\pi^2 L^2 \sigma_{J_K}^2}{R^8 T^4} + \frac{256\pi^2 L^2 \sigma_T^2}{R^8 T^6} (J_H + J_K)^2 + \frac{1024\pi^2 L^2 \sigma_R^2}{R^{10} T^4} (J_H + J_K)^2 + \frac{64\pi^2 \sigma_L^2}{R^8 T^4} (J_H + J_K)^2}$$

Für die Poissonsche Querkontraktionszahl aus Gleichung 1 erhält man den Fehler:

$$\sigma_\mu = \sqrt{\frac{E^2 \sigma_G^2}{4G^4} + \frac{\sigma_E^2}{4G^2}}$$

Der Fehler des Kompressionsmoduls  $Q$  nach Gleichung 2 ist:

$$\sigma_Q = \sqrt{\frac{36E^2 \sigma_\mu^2}{(-6\mu + 3)^4} + \frac{\sigma_E^2}{(-6\mu + 3)^2}}$$

Der Fehler der magnetischen Flussdichte  $B$  der Helmholtzspulen nach Gleichung 5 ergibt sich zu:

$$\sigma_B = \sqrt{\frac{I^2 N^2}{R^4} \frac{64}{125} \mu_0^2 \sigma_R^2 + \frac{I^2 \sigma_N^2}{R^2} \frac{64}{125} \mu_0^2 + \frac{N^2 \sigma_I^2}{R^2} \frac{64}{125} \mu_0^2}$$

Für den Fehler des magnetischen Moments  $m$  nach der Gleichung 8 erhält man:

$$\sigma_m = \sqrt{\sigma_B^2 \left( \frac{\pi G R^4}{2B^2 L} - \frac{4\pi^2}{B^2 T^2} (I_H + I_K) \right)^2 + \frac{4\pi^2 G^2 R^6 \sigma_R^2}{B^2 L^2} + \frac{\pi^2 G^2 R^8 \sigma_L^2}{4B^2 L^4} + \frac{16\pi^4 \sigma_{I_K}^2}{B^2 T^4} + \frac{16\pi^2 \sigma_T^2}{B^2 T^6} (I_H + I_K)^2 + \frac{\pi^2 R^8 \sigma_G^2}{4B^2 L^2}}$$

## 5 Diskussion

Die aus den Versuchsergebnissen errechneten Werte für die elastischen Konstanten wirken auf den ersten Blick plausibel, da die drei Spannungen, also Torsions-, Elastizitäts- und Kompressionsmodul ungefähr von der gleichen Größenordnung sind. Das einzig  
Für die Bestimmung des magnetischen Moments wurde keine Regression durchgeführt, da die Versuchsanordnung nur unzuverlässig funktionierte und es uns somit nicht möglich war Periodendauern für verschiedene magnetische Flussdichten zu messen.

## Literatur

- [1] Schaaf, Peter und Große-Knetter, Jörn(2008): *Das Physikalische Praktikum*,  
Universitätsverlag Göttingen.

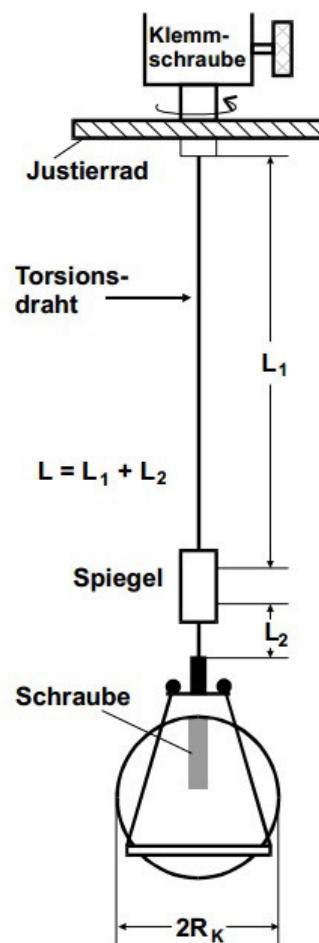


Abbildung 1: Skizze des Versuchsaufbaus